

## ラッピングされていない平行線ケーブル部材の計算式

大阪大学 正鏡 前田幸雄・長風技大 正鏡 林 正・川田工業㈱ 正鏡。前田研一

### 1. まえがき

本研究は、補剛桁架設途中における主ケーブルの2次応力を考慮した長大吊橋の大変形解析を、慣用モデルおよび通常の変位法に基づく解析コード<sup>1)</sup>を用いて、実行することを目的として、Wyattの理論<sup>1)</sup>を基に、ワイヤーラッピングされていない平行線ケーブル部材の計算式を説明し、提案するものである。前回<sup>2)</sup>に一部報告済であるが、今回は、有限要素法・有限変位理論に基づいて説明したより厳密な計算式を提案するとともに、計算式の妥当性および合理性を既往の実験報告<sup>3)</sup>とも対比させて検討した結果を報告する。

### 2. 有限要素法・有限変位理論に基づく計算式

(1) 2次曲げモーメント 2次応力の要因として、素線の曲げ剛性およびバンド継付け効果による偏心張力が支配的であるとすれば、自由滑動部での2次曲げモーメントは次式で与えられる。

$$M_a + Q \cdot x - T \cdot v(x) = -E_c I_n V''(x) + \frac{E_c I_c}{l_0} (\tan \theta_a - \tan \theta_b), \quad I_n = n_w \cdot l_w, \quad I_c = \frac{n_w}{2} A_w \cdot g^2 \quad (1)$$

(nw: 素線数, Iw: 素線の横断面積, Aw: 素線の断面積, g: 構造, l0: 無元長)

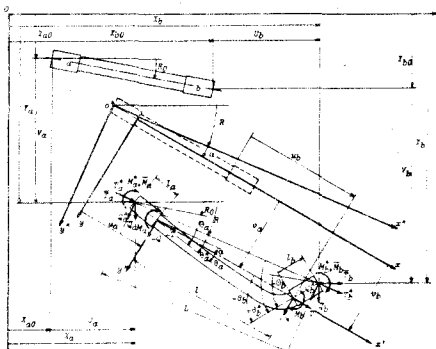


図-1 平行線ケーブル部材の構造と材端拘束条件

変位関数としては、一般の曲げ部材とは異って、  
 $g/l_0 = \sqrt{T l_0^2 / E_c I_n} \gg 1$  なる無次元パラメータの条件からベキ級数の近似式を用いることができず、双曲線関数項を含む次式を適用した。

$$u(x) = C_1 x + C_2, \quad v(x) = C_3 \cosh g_n x + C_4 \sinh g_n x + C_5 x + C_6 \quad (2)$$

一方、変位-歪関係式は、素線*i*の曲率を  $\rho_i(x) = -v'(x)$  として、軸方向歪として、

$$\epsilon_{xi}(x) = u'(x) + \frac{1}{2} v'(x) + (\tan \theta_a - \tan \theta_b) g_i / l_0. \quad (3)$$

なる独自の第3項を含む式を用いた。なお、部材回転角などの影響を除去するために、変形後の自由滑動部両端点を結ぶ直線と平行な軸上に無応力状態を仮想している。

(3) 自由滑動部の剛性行列および接線剛性行列 一般化されたCastigianoの第一定理から次のようないくつかの関係式が得られ、 $g/l_0 \gg 1$  なる条件および  $u_b - u_a = l - l_0, v_b - v_a = 0$  を代入すれば、自由滑動部の剛性行列の各要素は非常に簡略な近似式で与えられた。

$$f = \begin{pmatrix} -T \\ -Q \\ M_a \\ T \\ Q \\ M_b \end{pmatrix} = R_k(d) \cdot d = (R_k + R_k(d)) \cdot d = \left( \begin{pmatrix} E c l_0 & 0 & 0 & -E c l_0 & 0 & 0 \\ 0 & 0 & 0 & 0 & 0 & 0 \\ E c l_0 & 0 & 0 & -E c l_0 & 0 & 0 \\ E A c l_0 & 0 & 0 & 0 & 0 & 0 \\ 0 & 0 & 0 & 0 & E c l_0 & 0 \\ 0 & 0 & 0 & 0 & 0 & E c l_0 & l_0 \end{pmatrix}_{\text{Symm.}} + \begin{pmatrix} 0 & A & B & 0 & -A & C \\ D & E & -A & -D & E & 0 \\ F & -B & -E & G & 0 & 0 \\ 0 & A & -C & D & -E & F \\ 0 & -A & 0 & 0 & 0 & 0 \\ 0 & 0 & 0 & 0 & 0 & 0 \end{pmatrix} \right) \begin{pmatrix} u_a \\ v_a \\ \tan \theta_a \\ u_b \\ v_b \\ \tan \theta_b \end{pmatrix} \quad (4)$$

$A = -\frac{E c A_c}{2 g^2} \cdot \frac{1}{g l_0} (\tan \theta_a + \tan \theta_b), \quad B = -\frac{E c A_c}{2} \cdot \frac{1}{g l_0} \tan \theta_a, \quad C = -\frac{E c A_c}{2} \cdot \frac{1}{g l_0} \tan \theta_b,$   
 $D = \frac{E c A_c}{2 g^2} (l - l_0), \quad E = \frac{E c A_c}{2 l_0} \cdot \frac{1}{g l_0} (l - l_0), \quad F = \frac{E c A_c}{2} \cdot \frac{1}{g l_0} (l - l_0), \quad G = 0.$

そして、上式の増分形および自由滑動部の接線剛性行列は次式で与えられた。

$$\Delta f = \Delta R(d) \cdot \Delta d = (\frac{1}{2}d + 2R(d)) \cdot \Delta d \quad (5)$$

なお、 $I_c \rightarrow 0, I_h \rightarrow 0$  ( $\theta_{hl} \rightarrow \infty$ ) とすれば、一般の軸力部材の計算式と一致することが確かめられる。

(4) 自由滑動部とバンド締付け部との一体化 ゆえに、自由滑動部とバンド締付け部とからなる平行線ケーブル部材の材端力は、基準座標系 X-Y において、次式により求められる。

$$F = \bar{C} \cdot C \cdot C \cdot f = \begin{bmatrix} \cos R & -\sin R \\ \sin R & \cos R \end{bmatrix} \begin{bmatrix} 0 & 0 & 0 & 0 \\ 0 & 0 & 0 & 0 \\ 0 & 0 & 1 & 0 \\ 0 & 0 & 0 & \cos R - \sin R \\ 0 & 0 & 0 & \sin R \cos R \\ 0 & 0 & 0 & 0 \end{bmatrix} \begin{bmatrix} 1 & 0 & 0 & 0 & 0 & 0 \\ 0 & 1 & 0 & 0 & 0 & 0 \\ -L_{min} \theta^* & L_{max} \theta^* & 1 & 0 & 0 & 0 \\ 0 & 0 & 0 & 1 & 0 & 0 \\ 0 & 0 & 0 & 0 & 1 & 0 \\ 0 & 0 & 0 & 0 & -L_{min} \theta^* & L_{max} \theta^* \end{bmatrix} \begin{bmatrix} \cos d - \sin d & 0 & 0 & 0 & 0 & 0 \\ \sin d & \cos d & 0 & 0 & 0 & 0 \\ 0 & 0 & 1 & 0 & 0 & 0 \\ 0 & 0 & 0 & \cos d - \sin d & 0 & 0 \\ 0 & 0 & 0 & \sin d & \cos d & 0 \\ 0 & 0 & 0 & 0 & 0 & 1 \end{bmatrix} f \quad (6)$$

さらに、上式の増分形を次式のように近似すれば、接線剛性行列も容易に求められる。

$$\Delta F = \bar{C} (C \cdot C \cdot \Delta f + \Delta C \cdot C \cdot f) = \Delta R(D) \cdot \Delta d = [\bar{C} (C \cdot C \cdot \Delta R(d) \cdot C^T \cdot C^T + \Delta C_f) \bar{C}^T] \Delta d \quad (7)$$

ここに、上式の第2項はバンド部の回転に対応する独自の付加項である。ただし、これら計算式では、バンド締付け部の伸び変形を考慮したことから、幾何学的な適合条件を満足させるための超越方程式を解く必要がある。

### 3. 計算式の妥当性および合理性の検討

吊橋の主ケーブルに擬したバンドを有し初期張力を負荷された簡単なケーブル構造物を用い、以下の種々の方法による計算を行った。

ANALYSIS-1: 一般的軸力部材の計算式を用いて、2次応力を無視した方法。  
(节点数7)

ANALYSIS-2: バンド締付け部の長さを零とし、自由滑動部の計算式を用いて、2次応力を考慮した方法。  
(节点数7)

ANALYSIS-3: バンド締付け部と自由滑動部とを2種の部材に分離した場合の2次応力を考慮した方法。  
(节点数7)

PROPOSED ANAL.: バンド締付け部と自由滑動部とを一体化させた平行線ケーブル構造物計算式を用いて、2次応力を考慮した方法。  
(节点数7)

PROPOSED ANAL.-1: 上の方法に加えて、バンドの回転に起因する伸びの付加項を考慮した方法。  
(节点数7)

既計算、模型実験報告とも対比させて考察しに結果からは、提案した計算式が实用上充分な精度を有し、バンド締付け部と自由滑動部とを2種の部材に分離した場合のように節点数、帯幅を増大させることなくして、効率よく2次応力の影響を考慮できることを示した。さらに、接線剛性行列におけるバンドの回転に対応する独自の付加項が非常に有効であり、収束性についても实用上充分であるといえた。

4. あとがき 前回に報告したように、補剛桁架設途中における主ケーブルの2次応力の影響が主ケーブルの安全性のみならず施工管理面からも無視できないことは、長大吊橋では充分に予測される。そこで、次回には、本四桁橋案の実橋架設例を対象とした解析結果を報告し、各種架設工法における差異を含め種々の考察を加える予定である。

参考文献 1)Wyatt,T.A.: Secondary Stresses in Parallel Wire Suspension Cables, Trans. ASCE, Vol.128, 1963.

2)前田・林・前田: 主ケーブルの2次応力を考慮した高層大橋の変形解析法, 土木学会第25回定期技術講演会論文集, 1980.

3)西村・新宿・甲村・土居: 吊橋架設途中における平行線ケーブルの変形と2次応力解析, 土木学会論文報告集, No.260, 1977.

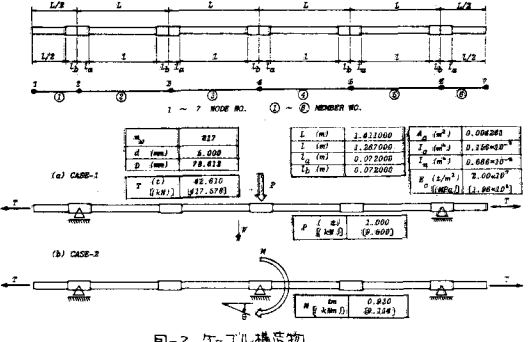


図-2 ケーブル構造物

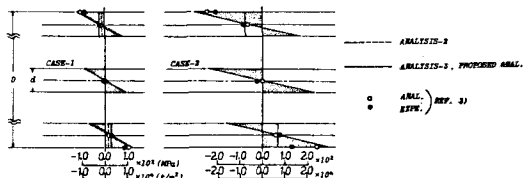


図-3 2次応力の計算結果(节点③-自由滑動部)

表-1 变位V, ④の計算結果

	DISPLACEMENT				REF. (mm)
	V (mm)	W (mm)	U (mm)	W (mm)	
CASE-1	NODE 1	0.000	4	NODE 3	0.000
CASE-1	0.0169	0.2799	0	0.000	
CASE-1	0.0142	0.2781	0	0.000	
CASE-1	0.0154	0.2583	0	0.000	
CASE-2	PROPOSED ANAL.	0.0154	0.2583	0	
CASE-2	REF. 3	0.0112	0.0281	0	
CASE-2	EXPT.	0.0112	0.0287	0	
CASE-2	0.0142	0.2781	0	0.000	
CASE-3	PROPOSED ANAL.	-0.0100	0.0	0.0104	0.0358
CASE-3	REF. 3	0.0071	0.0	0.0111	0.0366
CASE-3	EXPT.	0.0071	0.0	0.0098	0.0326

表-2 収束計算の収束回数

	INCREMENTAL STEP		NO. OF ITERATION
	ANALYSIS-1	PROPOSED ANALYSIS	
CASE-1	1	8	
CASE-1	NO ADDITION	1	16
CASE-2	PROPOSED ANALYSIS	1	7
CASE-2	NO ADDITION	1	32